

## Метод обеспечения конфиденциальности данных с применением ортогональных матриц

*М.Б. Сергеев, Т.М. Татарникова, А.М. Сергеев, В.В. Боженко*

*Санкт-Петербургский государственный университет аэрокосмического приборостроения*

**Аннотация:** Обсуждается актуальность применения ортогональных матриц в симметричных системах криптографической защиты информации. Приводится схема организации матричного маскирования цифровых данных. Демонстрируются примеры и результаты маскирования и демаскирования звукового файла и изображения.

**Ключевые слова:** ортогональная матрица, маскирование сообщения, алгоритм маскирования/демаскирования, амплитудно-частотная характеристика, белый шум.

### Введение

Совершенствование теории ортогональных и экстремальных матриц открывает новые возможности по формированию библиотеки уникальных ортогональных матриц, которые все чаще находят применение в задачах обеспечения конфиденциальности данных, включая оцифрованные изображения и аудиофайлы [1].

Анализ большинства современных источников показывает, что для обеспечения конфиденциальности, используются, в основном, криптографические методы [2,3]. Наряду с ними прослеживается тема использования матричных [4,5] или гибридных [6,7] методов защитного кодирования, с реализацией на программируемых логических интегральных схемах или процессорах цифровой обработки сигналов.

Исторически первым шифром, основанным на использовании матриц, является шифр Хилла: алгоритм, лежащий в его основе, заменяет каждые  $m$  последовательных букв открытого текста  $m$  буквами шифрованного текста. Таким образом, подстановка определяется  $m$  линейными уравнениями:

$$\begin{pmatrix} c_1 \\ c_2 \\ \vdots \\ c_m \end{pmatrix} = \begin{pmatrix} k_{11} & k_{12} & \cdots & k_{1m} \\ k_{21} & k_{22} & \cdots & k_{2m} \\ \vdots & \vdots & \vdots & \vdots \\ k_{m1} & k_{m2} & \cdots & k_{mm} \end{pmatrix} \times \begin{pmatrix} p_1 \\ p_2 \\ \vdots \\ p_m \end{pmatrix}, \quad (1)$$

где  $\mathbf{C} = \|c_i\|$  – матрица-столбец букв шифрованного текста;

$\mathbf{P} = \|p_i\|$  – матрица-столбец букв открытого текста;

$\mathbf{K} = \|k_{ij}\|$  – матрица-ключ шифрования.

Для дешифрования применяется матрица  $\mathbf{K}^{-1}$ , для которой справедливо:

$$\mathbf{K} \times \mathbf{K}^{-1} = \mathbf{I}, \quad (2)$$

где  $\mathbf{K}^{-1}$  – матрица, обратная  $\mathbf{K}$ ;

$\mathbf{I}$  – единичная матрица.

В общем виде криптосистема, основанная на применении матриц, представляется соотношениями:

$$\mathbf{C} = E(\mathbf{P}) = \mathbf{K} \times \mathbf{P}, \quad (3)$$

где  $E$  – функция шифрования.

$$\mathbf{P} = D(\mathbf{C}) = \mathbf{K}^{-1} \times \mathbf{C} = \mathbf{K}^{-1} \times \mathbf{K} \times \mathbf{P} = \mathbf{P}, \quad (4)$$

где  $D$  – функция дешифрования.

Преимущество криптосистемы (3), (4) заключается в полном маскировании частоты вхождения отдельных символов, и чем выше порядок матрицы, тем больше информации о различиях в значениях частоты появления символов и их сочетаний скрывается в шифрованном сообщении. Благодаря этому свойству, шифрование с применением матриц также называется маскированием, а обратный процесс - демаскированием.

В настоящее время идеи криптосистемы (3), (4) распространяются на оцифрованные изображения и звук, а в качестве матрицы-ключа используются ортогональные матрицы высших порядков. Причин этому несколько:

- для ортогональной матрицы  $\mathbf{K}$  справедливо условие  $\mathbf{K}^{-1}=\mathbf{K}^T$ , где  $\mathbf{K}^T$  – транспонирование матрицы  $\mathbf{K}$ ;
- при совпадении порядка матрицы  $\mathbf{K}$  с размером изображения или аудиофайла шифр становится абсолютно стойким;
- криптосистема является симметричной, что обеспечивает скорость шифрования, соответствующую выполнению операции умножения, например, на программируемых логических интегральных схемах;
- по закрытому каналу на принимающую сторону передается не сама матрица-ключ, а только ее параметры, достаточные для синтеза матрицы  $\mathbf{K}^{-1}$ .

Платой за высокую скорость шифрования является необходимость создания закрытого канала для передачи секретной информации принимающей стороне.

### Описание криптосистемы, реализующей матричное маскирование цифровых данных

На рис. 1 приведена общая схема процесса маскирования цифровых данных с применением ортогональных матриц [8].

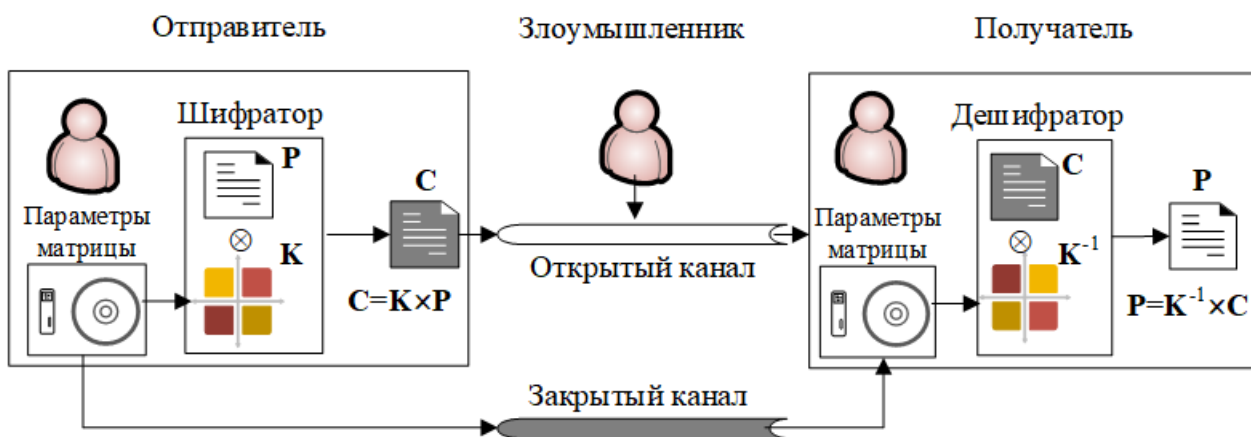


Рис. 1. Схема процесса маскирования цифровых данных с применением ортогональных матриц

Основными этапами процесса маскирования являются:

На стороне отправителя – шифрование:

- синтез ортогональной матрицы-ключа **К** порядка  $n$ ;
- формирование открытого сообщения (изображения, аудиофайла) в виде матрицы размера  $n \times n$ . Целесообразно выбирать порядок матрицы, равный длине пакета, передаваемого по сети;
- шифрование путем математического умножения матрицы открытого сообщения **Р** на матрицу-ключ **К** с получением результата в виде матрицы маскированного сообщения **С** того же размера  $n \times n$ .

На стороне получателя – дешифрование:

- синтез ортогональной матрицы-ключа **К** порядка  $n$  по известным параметрам, полученным по закрытому каналу;
- вычисление матрицы **К**<sup>-1</sup> путем транспонирования матрицы-ключа **К** порядка  $n$ ;
- дешифрование путем математического умножения матрицы маскированного сообщения **С** на матрицу **К**<sup>-1</sup> с получением результата в виде матрицы открытого сообщения **Р** размера  $n \times n$ .

Криптосистема (3), (4) может быть реализована, например, на матрицах Адамара, порядки которых кратны  $4t$ , где  $t$  – натуральное число, а также матрицах Мерсенна, существующих на порядках  $4t - 1$ . Как те, так и другие существуют в структурированных видах, в том числе по Уолшу. Такие структурированные матрицы имеют преимущества, поскольку известны алгоритмы их синтеза, в том числе высоких порядков [9].

Подготовка открытого сообщения – аудиофайла – сводится к выбору частоты дискретизации, например, 48 КГц и формированию построчных сэмплов с количеством точек отсчета, равным  $n$ . Если количество сэмплов окажется меньше  $n$ , то пустые строки матрицы **Р** заполняются нулями.

Подготовка открытого сообщения – изображения – сводится к приведению размера изображения, например,  $d \times l$  к размеру матрицы  $\mathbf{P}$ , где центры изображения и матрицы совпадают. Образовавшиеся пустые строки матрицы  $\mathbf{P}$  также заполняются нулями. Идея маскирования изображения восходит к визуальной криптографии, предложенной М. Наором и А. Шамиром на EUROCRYPT в 1994 году. Идея продемонстрирована с помощью прозрачных пленок, которые являются слоями оригинального изображения. В предлагаемом в статье методе слои изображения и ортогональной матрицы накладываются друг на друга с помощью графических редакторов.

### **Эксперименты по маскированию цифровых данных**

Для проведения экспериментов были разработаны программы, реализованные на языке C++.

В качестве примера рассмотрим результаты маскирования и демаскирования звукового файла 108362-2-0-23.wav из датасета «UrbanSound8K» по адресу [kaggle.com/datasets/chrisfilo/urbansound8k](https://kaggle.com/datasets/chrisfilo/urbansound8k). На рис. 2 приведены графики амплитудно-частотных характеристик входного звукового сигнала, маскированного и демаскированного сигналов.

Оценку качества маскирования аудиофайла или изображения звукового сигнала предлагается выполнять по близости амплитудно-частотной характеристики звукового сигнала к амплитудно-частотной характеристике белого шума [10]. Рис. 2а демонстрирует визуальное сходство с маскированным сигналом на рис. 2б. Спектр маскированного звукового сигнала близок к спектру белого гауссовского шума, среднеквадратическое отклонение между ними составляет  $2,1379 \cdot 10^{-05}$ .

На рис. 3 приведены результаты маскирования изображения:

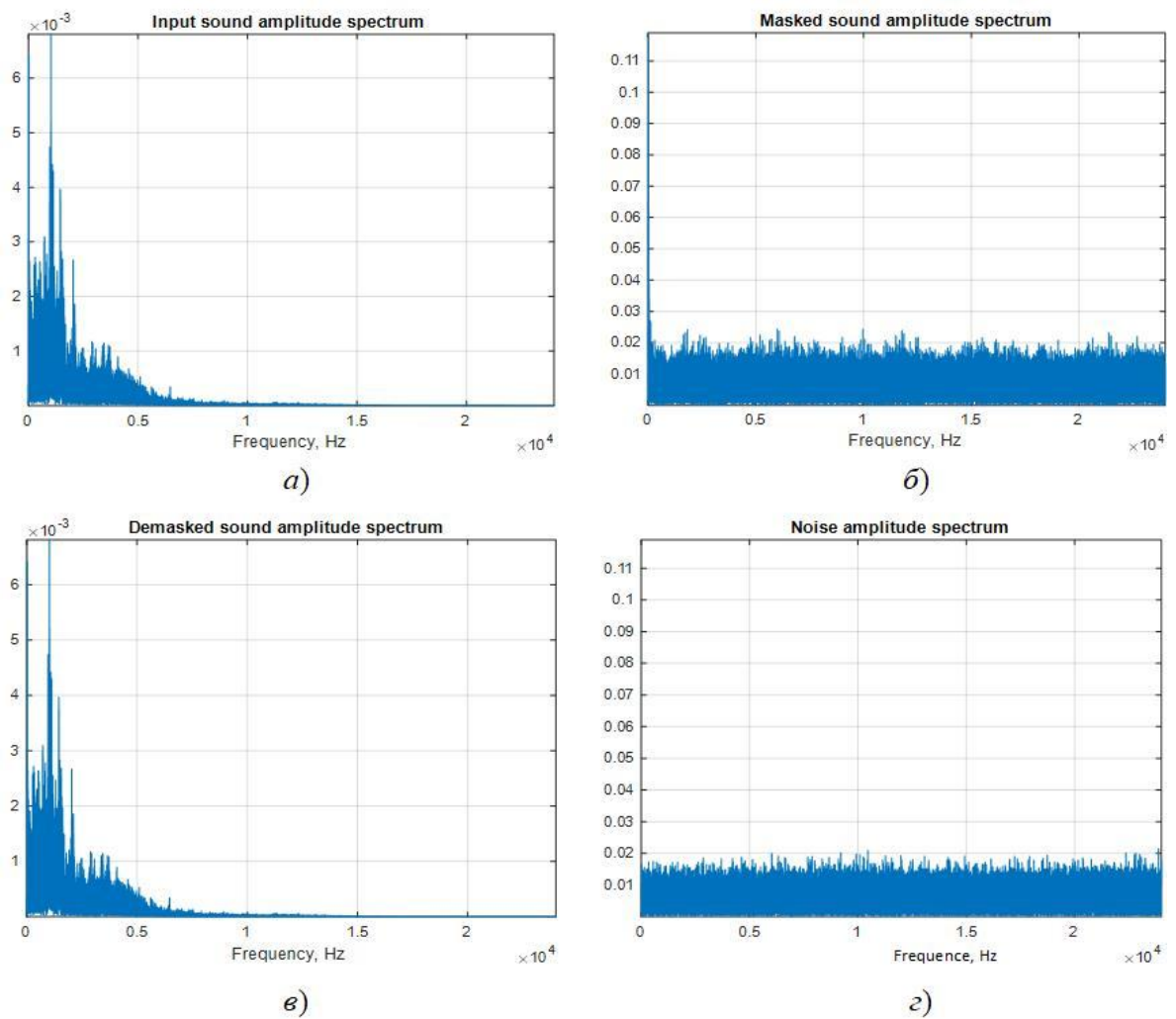


Рис. 2 – Графики отсчетов: *а)* входной сигнал; *б)* маскированный сигнал; *в)* демаскированный сигнал; *г)* белый шум

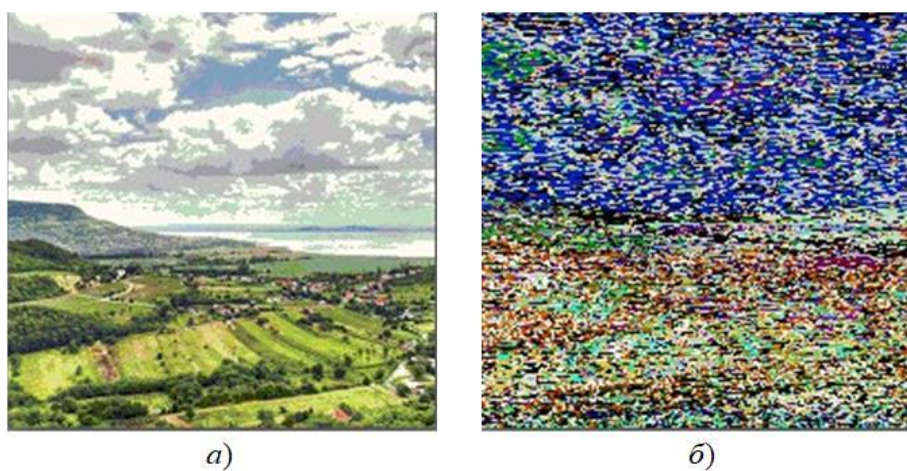


Рис. 3. Маскирование: *а)* открытое изображение; *б)* маскированное изображение

Исследования показывает, что выбор порядка матрицы-ключа влияет на качество маскирования. Так, для при совпадении порядка матрицы **К** с размером аудиофайла, шифр становится абсолютно стойким. А для изображения маскирование является предварительным этапом до шифрования, позволяющим скрыть частоту сигналов.

### **Выводы**

Защитное преобразование цифровой информации – маскирование – выполняется по симметричной схеме шифрования, что делает применение матричного умножения с использованием ортогональных матриц предсказуемыми результатами и простотой реализации.

Маскирование цифровой звуковой информации к виду, близкому по спектру к белому шуму надежно защищает ее в коммуникационном канале от несанкционированного доступа.

Маскирование изображения можно использовать как предварительный этапом до шифрования, позволяющим скрыть частоту сигналов.

### **Литература**

1. Luis M., Daniel L., Isabel A. A new multimedia cryptosystem using chaos, quaternion theory and modular arithmetic // *Multimedia Tools and Applications*. 2023. Vol. 82. pp. 35149-35181.
2. Abdallah H.A., Meshoul S.A. Multilayered Audio Signal Encryption Approach for Secure Voice Communication // *Electronics*. 2023. N 12. P. 2.
3. Al-laham M.M.A Method for Encrypting and Decrypting wave Files // *International Journal of Network Security & Its Applications*. 2018. Vol. 10, N 4. pp. 11-21.
4. Hameed Y.M., Ali N. M. An efficient audio encryption based on chaotic logistic map with 3D matrix // *Journal of Theoretical and Applied Information Technology*. 2018. N 96. pp. 5142-5152.



5. Farsana F.J., Devi V.R., Gopakumar K. An audio encryption scheme based on Fast Walsh Hadamard Transform and mixed chaotic keystreams. URL: [doi.org/10.1016/j.aci.2019.10.001](https://doi.org/10.1016/j.aci.2019.10.001) (дата обращения 11.09.2023).

6. Балонин Ю.Н., Востриков А.А., Куртяник Д.В., Сергеев А.М. Обогащение набора последовательностей в задаче поиска блоков симметричных матриц Адамара // Инженерный вестник Дона. 2023. № 1. URL: [ivdon.ru/ru/magazine/archive/n1y2023/8155](https://ivdon.ru/ru/magazine/archive/n1y2023/8155)

7. Сергеев А.М. О совмещении изображений и способах их реализации // Инженерный вестник Дона. 2022. № 8. URL: [ivdon.ru/ru/magazine/archive/n8y2022/7832](https://ivdon.ru/ru/magazine/archive/n8y2022/7832).

8. Бескид П.П., Татарникова Т.М. О Некоторых подходах к решению проблемы авторского права в сети интернет // Ученые записки Российского государственного гидрометеорологического университета. 2010. № 15. С. 199-210.

9. Аракелов Г.Г., Грибов А.В., Михалёв А.В. Прикладная гомоморфная криптография: примеры // Фундаментальная и прикладная математика. – 2016. Т.21, № 3. С. 25–38.

10. Столбов М.Б. Алгоритм оценки отношения сигнал/шум речевых сигналов // Научно-технический вестник информационных технологий, механики и оптики. 2012. № 6 (82). С. 67-72.

### References

1. Luis M., Daniel L., Isabel A. Multimedia Tools and Applications. 2023. Vol. 82. pp. 35149-35181.

2. Abdallah H.A., Meshoul S.A. Electronics. 2023. No. 12. p. 2.

3. Al-laham M.M.A International Journal of Network Security & Its Applications. 2018. Vol. 10. No. 4. pp. 11-21.

4. Hameed Y.M., Ali N. M. Journal of Theoretical and Applied Information Technology. 2018. No. 96. pp. 5142-5152.

---





5. Farsana F.J., Devi V.R., Gopakumar K. URL: doi.org/10.1016/j.aci.2019.10.001 (accessed 11/09/2023).
6. Balonin N.A., Vostrikov A.A., Kurtyanyk D.V., Sergeev A.M. Inzhenernyj vestnik Dona. 2023. № 1. URL: ivdon.ru/ru/magazine/archive/n1y2023/8155.
7. Sergeev A.M. Ttrudy uchebnykh zavedeniy svyazi. 2022. Inzhenernyj vestnik Dona. 2023. № 8. URL: ivdon.ru/ru/magazine/archive/n8y2022/7832.
8. Beskid P.P., Tatarnikova T.M. Uchenyye zapiski Rossiyskogo gosudarstvennogo gidrometeorologicheskogo universiteta. 2010. № 15. pp. 199-210.
9. Arakelov G.G., Gribov A.V., Mikhalev A. V. Fundamentalnaya i prikladnaya matematika. 2016. Vol. 21. № 3. pp. 25-38.
10. Stolbov M.B. Nauchno-Tehnicheskii Vestnik Informatsionnykh Tekhnologii, Mekhaniki i Optiki. 2012. № 6 (82). pp. 67-72.

**Дата поступления: 5.12.2023**

**Дата публикации: 23.01.2024**